## = ОРИГИНАЛЬНЫЕ СТАТЬИ =

 $V \not \square K 543.544 + 543.545 + 543.08$ 

### © А. В. Солдаткин

# О КОМПЬЮТЕРНОМ МОДЕЛИРОВАНИИ **МИКРОФЛЮИДНЫХ СИСТЕМ**

В работе приведены результаты расчета струйной модели микрофлюидной системы осесимметричной и плоской геометрии. Проанализировано влияние способа ввода пробы, тепловыделения и наличия частиц на микрогидродинамику потока.

#### Список обозначений

d — диаметр капилляра;

 $u_{\rm G}$  — скорость (Гельмгольца—Смолуховского) частиц пробы ( $u_G = \varepsilon_0 \cdot \varepsilon \cdot \zeta \cdot E / \mu$ );

 $\varepsilon_0$  — электрическая постоянная;

 $\varepsilon$  — диэлектрическая проницаемость буфера;

 $\zeta$  — электрокинетический потенциал;

E — напряженность электрического поля;

 $\mu$  — динамическая вязкость буфера;

 $\varphi$  — потенциал внешнего электрического поля;

L — длина капилляра;

D — коэффициент диффузии;

ho — плотность буфера;

T — температура буфера и пробы;

R — газовая постоянная;

и, у — продольная и поперечная компоненты скорости пробы;

x, y — продольная и поперечная координаты;

q — заряд;

 $\gamma_1$  — плотность заряда;

C — концентрации пробы;

 $c_p$  — теплоемкость при постоянном давлении; G — массовый расход пробы;

*а* — коэффициент температуропроводности;

v — кинематческая вязкость,  $v = \mu / \rho$ ;

 $\beta$  — коэффициент теплового расширения сме-

Pr = v/a — число Прандтля;

Sc = v/D — число Шмидта;

 $Gr = \beta g \Delta T d^3 / v^2$  — число Грасгофа;

 $Re = u \cdot d / v$  — число Рейнольдса;

 $\tau$  — касательное напряжение в потоке;

p — давление в потоке;

 $\delta$  — толщина микроструи;

 $\Delta T = T - T_{\infty}$  — разность температуры смеси в капилляре и темературы стенки капилляра.

# **ВВЕДЕНИЕ**

В развитие работ [1, 2] в данной статье приводятся результаты моделирования микрофлюидной системы осесимметричной и плоской геометрии. Распространенная на практике процедура ввода пробы (стекинг) посредством электрического поля формирует струйное течение на входе в кавозникает необходимость пилляр, и струйных потоков в микрофлюидных системах.

Микрофлюидные системы с выпуском представляют интерес при изучении электрокинетических течений в сложных геометрических конфигурациях с различными граничными условиями. В этой статье представлен анализ влияния инерционных эффектов и реологии в электрокинетических течениях. В стандартных приложениях микрочипов поле электрокинетического потока можно разделить на внутреннюю область, где доминируют вязкие и электростатические силы, и внешнюю область, где доминируют силы инерции и силы давления. Эти две области разделяются условиями для скорости скольжения, которые определяются уравнением Гельмгольца—Смолуховского. Справедливость этого предположения исследуется посредством анализа поля скоростей в двумерных течениях в канале с движением за счет давления и импульсным запуском электрического поля. Определены условия аналогии между полем скоростей и электрическим полем: однородный поверхностный заряд, малые числа Рейнольдса и Струхаля, однородные свойства жидкости, нулевой перепад давления между входом и выходом.

Электрокинетика представляет собой движение жидкости относительно фиксированной заряженной сплошной поверхности. Это движение происходит в том случае, когда электрическое прилагается к электрическому двойному слою, который спонтанно образуется при взаимодействии жидкости и поверхности при их контакте. Толщина этого двойного слоя определяется противоположно направленными силами электростатического притяжения и тепловой диффузии, а также реологией смеси и некоторыми другими факторами и имеет значение порядка длины Дебая. При разработке микрофлюидных технологий целесообразно использовать электрокинетический механизм в качестве метода контроля жидкостей в чипах микрофлюидных систем. Электрокинетическая подача смеси в чипах широко используется при электрофоретическом и хроматографическом разделениях и в других "микрочиповых лабораториях", имея существенные преимущества по сравнению с автономными капиллярными системами, включая возможность мультипликации сетевых канальных потоков и уменьшения времени анализа.

В связи с обозначенным преимуществом чипов весьма актуален анализ процедуры ввода пробы (стэкинг) и учет реологии смеси, что является необходимым при анализе биологических жидкостей.

В различных исследованиях относительно теории электроосмотических потоков были проанализированы эффекты инерции потока, градиентов давления, неоднородность  $\zeta$ -потенциала в микрофлюидных каналах.

#### ФОРМУЛИРОВКА ПРОБЛЕМЫ

Анализ работ, посвященных течению в микрофлюидных системах показывает, что инерционные силы играют немаловажную роль. Процедура ввода пробы (стекинг) в микрочиповый крест несомненно носит струйный характер [3]. Струевидная форма пробы формируется посредством электрических сил в поперечном сечении перпендикулярно направлению ее ввода. Учет электрических сил микрофлюидных систем в уравнении движения можно осуществить двояким путем [4]. Первый — разбиение на две зоны области течения: в первой, прилегающей к стенке капилляра, пренебрежимо малы силы инерции и имеет место баланс сил давления, вязкости и электрических сил; во второй, вдали от стенки, силы инерции сравнимы с остальными, число Рейнольдса порядка единицы и более, а электрические силы стремятся к нулю на оси капилляра. Второй путь — более целесообразен при компьютерном моделировании микрофлюидных систем: моделирование электрических сил во всем профиле течения в капилляре. Помимо этого, в компьютерной модели учитывается тепловыделение при течении пробы с буфером в капилляре — наличием архимедовых сил в уравнении движения; наличие частиц (необходимое условие возникновения электрофореза) моделируется отрицательной архимедовой силой.

В данной статье в продолжение работ [1, 2] описывается компьютерное моделирование течения в микроканале с учетом электрических сил.

## УРАВНЕНИЯ КОМПЬЮТЕРНОЙ МОДЕЛИ

Уравнения компьютерной модели микрофлюидной системы имеют вид:

$$\rho \cdot u \cdot \frac{\partial u}{\partial x} + \rho \cdot v \cdot \frac{\partial u}{\partial y} =$$

$$= \frac{\partial p}{\partial x} + \frac{1}{y^{i}} \cdot \frac{\partial}{\partial y} (y^{i} \cdot \frac{\partial \tau}{\partial y}) + F_{q} + F_{A},$$

$$\rho \cdot \frac{\partial (y^{i} \cdot u)}{\partial x} + \rho \cdot \frac{\partial (y^{i} \cdot v)}{\partial y} = 0,$$

$$F_{q} = q \cdot E, \quad F_{A} = \beta \cdot g \cdot \Delta T,$$

$$\rho \cdot c_{p} \cdot u \cdot \frac{\partial \Delta T}{\partial x} + \rho \cdot c_{p} \cdot v \cdot \frac{\partial \Delta T}{\partial y} =$$

$$= \frac{a}{y^{i}} \cdot \frac{\partial}{\partial y} (y^{i} \cdot \frac{\partial \Delta T}{\partial y}),$$

$$\rho \cdot u \cdot \frac{\partial C}{\partial x} + \rho \cdot v \cdot \frac{\partial C}{\partial y} = \frac{D}{v^{i}} \cdot \frac{\partial}{\partial y} (y^{i} \cdot \frac{\partial C}{\partial y}),$$

$$\rho \cdot u \cdot \frac{\partial C}{\partial x} + \rho \cdot v \cdot \frac{\partial C}{\partial y} = \frac{D}{v^{i}} \cdot \frac{\partial}{\partial y} (y^{i} \cdot \frac{\partial C}{\partial y}),$$

i = 0 — плоская геометрия; i = 1 — осесимметричный случай.

Рассматривается течение пассивной смеси пробы с буфером или течение смеси с незначительной скоростью химической реакции.

Следует заметить, что трансформация уравнений Навье—Стокса в уравнения пограничного слоя обусловлена тем, что длина капилляра много больше его характерного поперечного размера, т. е. продольный масштаб много больше поперечного. Можно показать, что в этом случае вторые производные от скорости, избыточной температуры и концентрации пробы по продольной координате малы по сравнению со второй производной по поперечной координате: по терминологии Сантьяго X. [4] — во второй зоне, вдали от стенки капилляра.

Граничные условия:

$$u = u_{\rm G}, \quad C = 0, \quad \Delta T = 0$$
 для  $y \to \infty;$  
$$\frac{\partial u}{\partial y} = 0, \quad \frac{\partial C}{\partial y} = 0, \quad \frac{\partial \Delta T}{\partial y} = 0$$
 для  $y = 0.$  (2)

Начальные условия:

$$x = 0,$$
  
 $u = u_0, \quad C = 0$  для  $|y| \le d;$  (3)  
 $u = 0, \quad C = 0$  для  $|y| > d.$ 

Интегральные соотношения для рассматриваемой системы имеют следующий вид.

Для импульса:

$$\rho \cdot \int_{0}^{\infty} u^{2} \cdot y \cdot dy = \int_{0}^{\infty} (F_{q} + F_{A}) \cdot y \cdot dy;$$

для массового расхода:

$$\rho \cdot \int_{0}^{\infty} u \cdot C \cdot y \cdot dy = \text{const} = G_0.$$

Наличие инвариантов струйного течения позволяет получить численное решение задачи (1) при автоматическом контроле счета.

Введем замену переменных:

$$\xi = x$$
,  $\eta = \left[2\int C \cdot u \cdot y \cdot dy\right]^{1/2}$ .

Запишем уравнение переноса импульса в новых переменных (2-я зона):

$$\frac{\partial u}{\partial \xi} = (C^2/\eta) \frac{\partial}{\partial \eta} (uy^2 \frac{\partial u}{\eta \partial \eta}) + 
+ (C/\eta^2)(1 - 1/Sc)(uy^2 \frac{\partial u}{\partial \eta} \frac{\partial C}{\partial \eta}) + 
+ (Gr/Re)\Delta T/u.$$
(4)

Аналогично преобразуется уравнение конвективной диффузии и переноса избыточного теплосодержания:

$$\frac{\partial C}{\partial \xi} = (C^2 / \operatorname{Sc} \cdot \eta) \frac{\partial}{\partial \eta} (uy^2 \frac{\partial C}{\eta \partial \eta}), 
\frac{\partial \Delta T}{\partial \xi} = \left( \Delta T^2 / \operatorname{Pr} \cdot \eta \right) \frac{\partial}{\partial \eta} \left( uy^2 \frac{\partial \cdot \Delta T}{\eta \cdot \partial \eta} \right).$$
(5)

А поперечная компонента скорости *v* определяется из уравнения неразрывности:

$$v = -u / y \int (1/u^{2}) \frac{\partial}{\partial \eta} \left[ \left( C / \eta \left( uy^{2} \frac{\partial u}{\partial \eta} \right) \right) \right] d\eta -$$

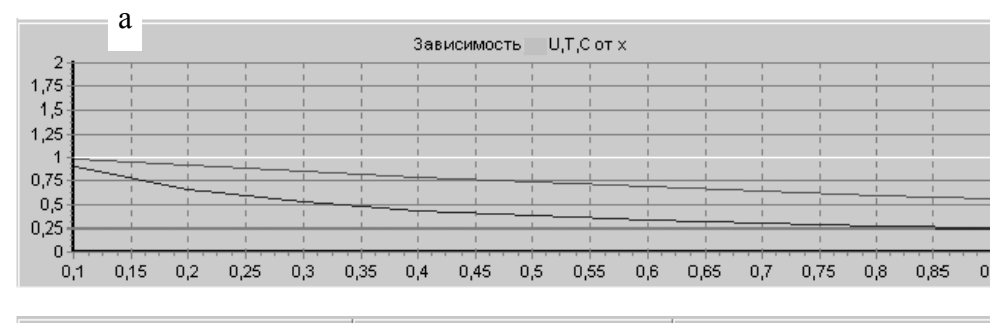
$$- (Gr / Re)(u / y) \int \left( \frac{\eta}{u^{3}} \right) d\eta,$$

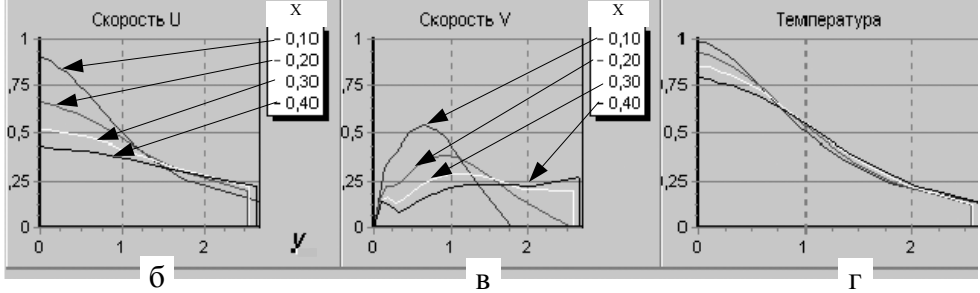
$$(6)$$

$$y = \left[ 2 \int \frac{\eta \cdot d\eta}{u \cdot C} \right]^{1/2}.$$

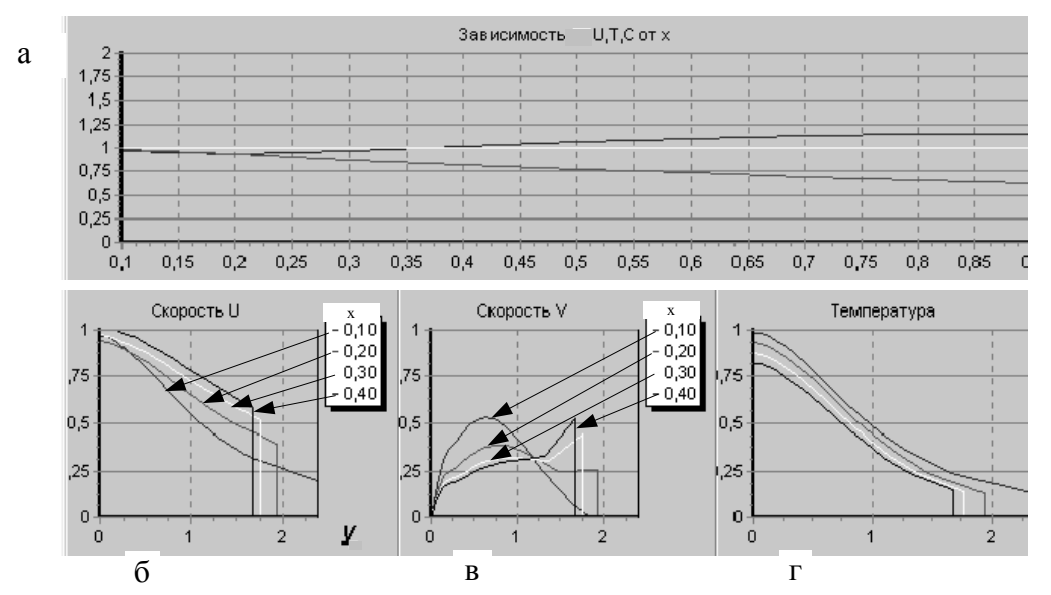
(Все величины безразмерны. В качестве масштаба скорости, температуры, концентрации выбраны их начальные значения на входе в капилляр, а в качестве масштаба длины — диаметр капилляра).

Начальные и граничные условия в новых переменных имеют вид:

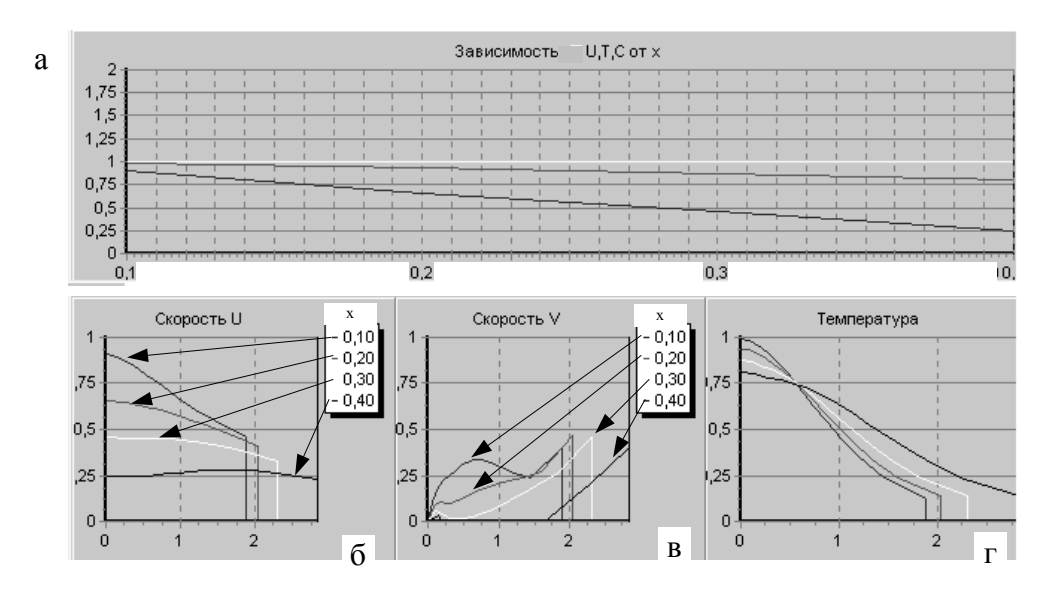




**Рис. 1.** Изменение продольной (U) и поперечной (V) компонент скорости смеси, избытка температуры (T) и концентрации пробы (C): а — вдоль оси капилляра; б, в,  $\Gamma$  — в поперечных сечениях (0.1, 0.2, 0.3, 0.4)



**Рис. 2.** Изменение продольной (U) и поперечной (V) компонент скорости смеси, избытка температуры (T) и концентрации пробы (C) при тепловыделении (Gr/Re =2): а — вдоль оси капилляра; б, в, г — в поперечных сечениях 0.1, 0.2, 0.3, 0.4



**Рис. 3.** Изменение продольной (U) и поперечной (V) компонент скорости смеси, избытка температуры (T) и концентрации пробы (C) при наличии частиц или с охлаждением (Gr/Re = -0.5): а — вдоль оси капилляра; б, в, г — в поперечных сечениях 0.1, 0.2, 0.3, 0.4

$$\begin{split} u &= 1, C = 1, \Delta T = 1 \colon \quad 0 \leq \eta \leq 1, \quad \xi = 0; \\ u &= 0, C = 0, \Delta T = 0 \colon \quad \eta = 1, \quad \xi = 0; \\ \frac{\partial u}{\partial \eta} &= \frac{\partial C}{\partial \eta} = \frac{\partial \Delta T}{\partial \eta} = 0 = v \colon \quad \eta = 0; \quad \xi > 0; \\ u &= u_G, C = 0, \Delta T = 0 \colon \quad \eta = 1, \quad \xi > 0. \end{split}$$

Таким образом, решение задачи свелось к численному интегрированию уравнений (4-6)

с начальными и граничными условиями (7) в конечной полосе интегрирования по  $\eta$  от 0 до 1. Непосредственно численное интегрирование осуществляется методом прямых при равномерном разбиении полосы интегрирования ( $\xi > 0, \ 0 \le \eta \le 1$ ) на P частей (P в расчетах варьировалось от 10 до 20).

На рис. 1–3 приведены результаты расчета полей продольной и поперечной компонент скоро-

сти, концентрации пробы, избыточной температуры в различных поперечных сечениях капилляра и вдоль его оси. Продольная скорость на границе 2-ой зоны  $(u_{\rm G})$  полагалась равной нулю.

При отсутствии тепловыделения и при его наличии профили продольной скорости, температуры и концентрации быстро становятся пологими и выходят на автомодельный режим (на расстоянии порядка 0.4 диаметра капилляра); при охлаждении ситуация принципиально иная: продольная скорость быстро уменьшается вдоль оси капилляра, а профили характерных величин "помнят" начальные значения. Кроме того, в этом случае вдоль оси вблизи входа в капилляр поперечная скорость имеет значительные градиенты, что приводит к генерации возмущений в потоке.

Другой характерный вариант расчета течения в микроканале приведен ниже для плоской геометрии (рис. 4, 5).

Следует отметить, что при компьютерном моделировании течения в микроканале использовалось выражение для функции тока в уравнении движения

$$\Psi = \cos h \left[ kh \left( y - 1/2 \right) \right] / \cos(kh/2),$$

 $\Psi$  — функция тока; k — величина, обратная длине Дебая; k — ширина канала.

Из рис. 4 видно, что наименьшие поперечные градиенты продольной скорости пробы при вводе в капилляр наблюдаются на расстоянии около 0.5—0.6 (равенство скоростей на оси капилляра и около его поверхности).

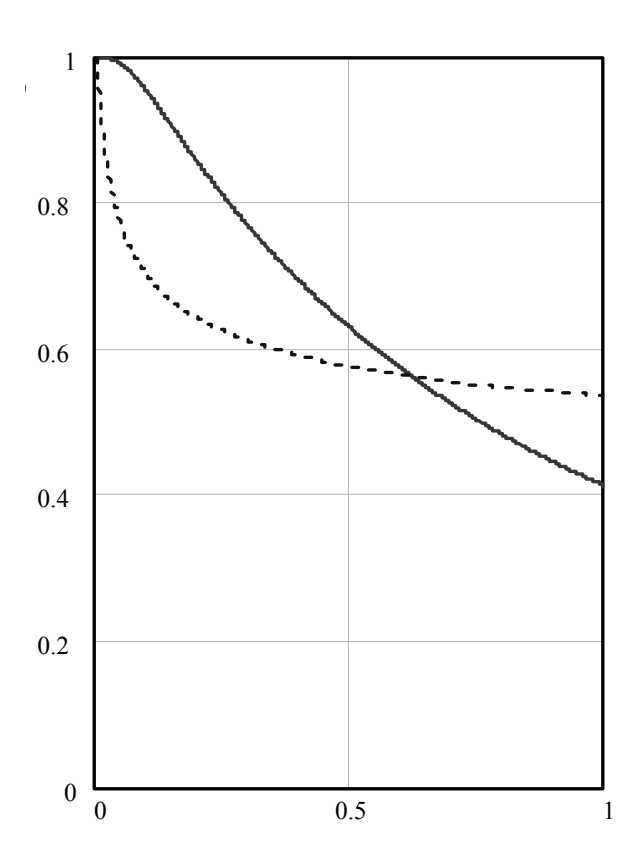
На рис. 5 показано изменение продольной компоенты скорости (U) вдоль оси микроканала. Следует отметить, что учет электрических сил приводит к характерной перестройке профиля серповидной формы примерно с расстояния порядка 0.6 от входа в микроканал. В данном случае профили становятся фрактальными (афиноподобными), т. е. осуществляется выход на автомодельный режим.

#### ЗАКЛЮЧЕНИЕ

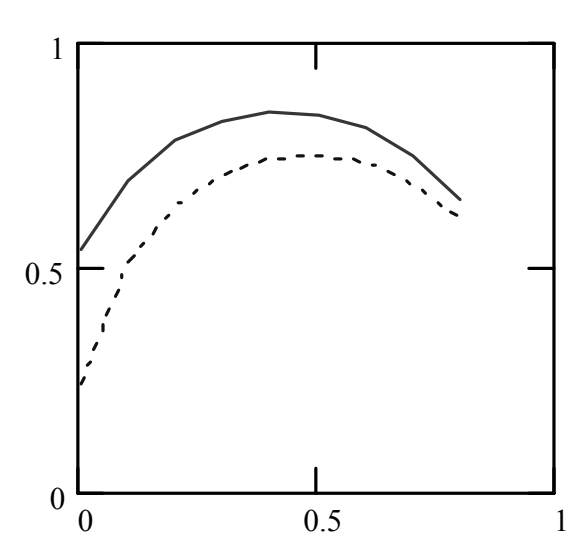
Анализ результатов компьютерного моделирования течения пробы с буфером с учетом ее ввода посредством электрического поля позволяет выбрать адекватную микрогидродинамическую модель и оптимальные области проведения концентрирования пробы и ее измерения.

Работа выполнена при поддержке грантов:

- 1. Научная программа Санкт-Петербургского научного центра РАН "Аналитические приборы на основе микрофлюидных технологий" (раздел 2, проект 2, 2003 г.);
- 2. Межведомственная научно-техническая программа "Вакцины нового поколения и диагно-



изменение скорости на оси микроканалавблизи поверхности микроканала



**Рис. 5.** Профили скорости смеси пробы с буфером вдоль оси микроканала на расстоянии — 0.1,

---- 0.1,

от входа в микроканал

стические системы будущего. Новые принципы детекции и разработка на их основе приборов для автоматизации лабораторно-диагностических методов исследования" (ГК N43.269.11.0206, 2002—2006 гг.).

#### СПИСОК ЛИТЕРАТУРЫ

- 1. *Солдаткин А.В.* Микрогидродинамическое моделирование проточных аналитических систем // Научное приборостроение. 2003. Т. 13, № 1. С. 40–44.
- 2. *Солдаткин А.В.* Струйная модель микрореактора в микрофлюидных аналитических системах // Научное приборостроение. 2003. Т. 13, № 3. С. 56–61.

- 3. *Santiago J.G.* Electroosmotic flows in microchanells with finite inertial and presurres forces // Anal. Chem. 2001. V. 73. P. 2353–2365.
- 4. Bharadwaj R., Santiago J.G., Mohammadi B. Design and optimization of on-chip capillary electrophoresis // Electrophoresis. 2002. N 23. P. 2729–2744.

Институт аналитического приборостроения РАН, Санкт-Петербург

Материал поступил в редакцию 27.10.2003.

# ON THE COMPUTER SIMULATION OF MICROFLUIDIC SYSTEMS

#### A. V. Soldatkin

Institute for Analytical Insrumentation RAS, Saint-Petersburg

The paper presents the results of numeric calculations for a microfluidic flow system model in the axially-symmetric and plane geometry. The effect of the sample injection mode, heat release and particle content on the flow microhydrodynamics is considered.